

RD - Systeme und Turing-Instabilitaet

Michael Rath

WWU Muenster

11. Juni 2008

Inhalt

- 1 Einleitung
- 2 Reaktionsdiffusionssysteme
- 3 Turing-Instabilität
 - Lineare Stabilität des homogenen Systems
 - Das Aktivator-Inhibitor Prinzip
- 4 Numerische Simulation einer Turing-Instabilität
- 5 Zusammenfassung
- 6 Literatur

Einleitung

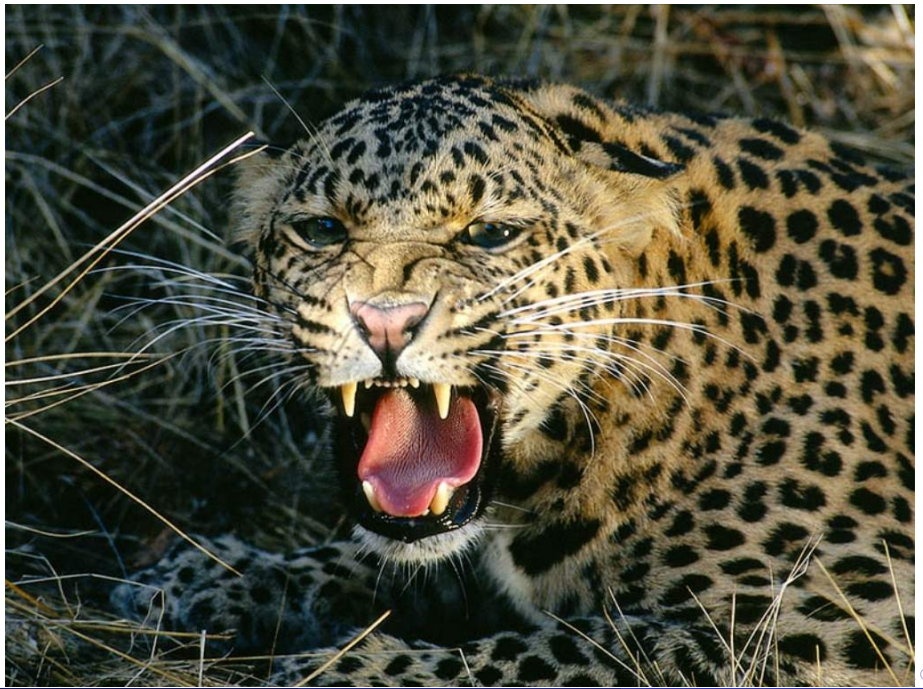
- Chemische Reaktionsdiffusionssysteme bilden spontan Strukturen aus
- Turing-Instabilität: Räumlich homogene, linear stabile Systeme werden im inhomogenen Fall instabil und bilden stationäre, räumlich periodische Muster aus (→ 'diffusionsgetriebene Instabilität')
- → Erstaunlich, da Diffusion i.A. als stabilisierender Faktor aufgefasst wird
- Turing-Mechanismus auch heute im Mittelpunkt vieler chemischbiologischer Strukturbildungstheorien
- Anwendung: z.B. Tierfellmuster, Ausbildung von Strukturen in chemischen Systemen

Einleitung

- Chemische Reaktionsdiffusionssysteme bilden spontan Strukturen aus
- Turing-Instabilität: Räumlich homogene, linear stabile Systeme werden im inhomogenen Fall instabil und bilden stationäre, räumlich periodische Muster aus (→ 'diffusionsgetriebene Instabilität')
- → Erstaunlich, da Diffusion i.A. als stabilisierender Faktor aufgefasst wird
- Turing-Mechanismus auch heute im Mittelpunkt vieler chemischbiologischer Strukturbildungstheorien
- Anwendung: z.B. Tierfellmuster, Ausbildung von Strukturen in chemischen Systemen

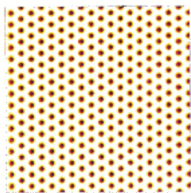
Einleitung

- Chemische Reaktionsdiffusionssysteme bilden spontan Strukturen aus
- Turing-Instabilität: Räumlich homogene, linear stabile Systeme werden im inhomogenen Fall instabil und bilden stationäre, räumlich periodische Muster aus (→ 'diffusionsgetriebene Instabilität')
- → Erstaunlich, da Diffusion i.A. als stabilisierender Faktor aufgefasst wird
- Turing-Mechanismus auch heute im Mittelpunkt vieler chemischbiologischer Strukturbildungstheorien
- Anwendung: z.B. Tierfellmuster, Ausbildung von Strukturen in chemischen Systemen





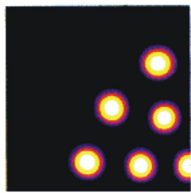
Selbstorganisierte raeumliche Strukturen



Stationary Turing Pattern



Stationary Meander



Stationary Quasi-Particles



Moving, rotating Spirals

Reaktionsdiffusionssysteme

- Viele zeitliche und raeumliche Strukturen nicht von aussen aufgeprägt, sondern vom jeweiligen System selbst erzeugt
- → Phaenomene (sog.,Strukturbildung in dissipativen Systemen“) grossteils gut beschrieben durch RD-Systeme

Allgemeinste Form:

$$\partial_t \mathbf{u} = \mathbf{D} \Delta \mathbf{u} + \mathbf{R}(\mathbf{u}) \quad (1)$$

wobei $\mathbf{u} = \mathbf{u}(\mathbf{r}, t)$ die Konzentration der Substanzen, $\mathbf{R}(\mathbf{u})$ die lokale Reaktionskinetik und \mathbf{D} eine diagonale Diffusionsmatrix beschreibt

Reaktionsdiffusionssysteme

- Viele zeitliche und raeumliche Strukturen nicht von aussen aufgeprägt, sondern vom jeweiligen System selbst erzeugt
- → Phaenomene (sog.,Strukturbildung in dissipativen Systemen“) grossteils gut beschrieben durch RD-Systeme

Allgemeinste Form:

$$\partial_t \mathbf{u} = \mathbf{D} \Delta \mathbf{u} + \mathbf{R}(\mathbf{u}) \quad (1)$$

wobei $\mathbf{u} = \mathbf{u}(\mathbf{r}, t)$ die Konzentration der Substanzen, $\mathbf{R}(\mathbf{u})$ die lokale Reaktionskinetik und \mathbf{D} eine diagonale Diffusionsmatrix beschreibt

- Bistabilitaeten schon im Falle stationaerer homogener Strukturen moeglich
- → Entstehung von raeumlichen, zeitlichen und raumzeitlichen inhomogenen Strukturen einschliesslich chaotischen Verhaltens
- Beispiele: Belousov-Zhabotinsky-Reaktion (homogener chemischer Oszillator), Gleichspannungsgasentladungssysteme

- Bistabilitaeten schon im Falle stationaerer homogener Strukturen moeglich
- → Entstehung von raeumlichen, zeitlichen und raumzeitlichen inhomogenen Strukturen einschliesslich chaotischen Verhaltens
- Beispiele: Belousov-Zhabotinsky-Reaktion (homogener chemischer Oszillator), Gleichspannungsgasentladungssysteme

Einkomponentige RD-Systeme

- Erste Arbeiten ueber einkomponentige RD-Systeme um 1937
- Nichtlinearer Quellterm $R(u) = u - u^2$ (Fisher u. Kolmogorov)
- → Spaeter allgemeiner $R(u) = u - u^n$

$$\partial_t u(x, t) = D \partial_x^2 u(x, t) + R(u)$$

- Typische Interpretation der Loesung: propagierende Front
- → Trennt zwei homogene Nicht-Gleichgewichtszustaende voneinander (von denen einer stabil und einer instabil ist)

Einkomponentige RD-Systeme

- Erste Arbeiten ueber einkomponentige RD-Systeme um 1937
- Nichtlinearer Quellterm $R(u) = u - u^2$ (Fisher u. Kolmogorov)
- → Spaeter allgemeiner $R(u) = u - u^n$

$$\partial_t u(x, t) = D \partial_x^2 u(x, t) + R(u)$$

- Typische Interpretation der Loesung: propagierende Front
- → Trennt zwei homogene Nicht-Gleichgewichtszustaende voneinander (von denen einer stabil und einer instabil ist)

Einkomponentige RD-Systeme

- Erste Arbeiten ueber einkomponentige RD-Systeme um 1937
- Nichtlinearer Quellterm $R(u) = u - u^2$ (Fisher u. Kolmogorov)
- → Spaeter allgemeiner $R(u) = u - u^n$

$$\partial_t u(x, t) = D \partial_x^2 u(x, t) + R(u)$$

- Typische Interpretation der Loesung: propagierende Front
- → Trennt zwei homogene Nicht-Gleichgewichtszustaende voneinander (von denen einer stabil und einer instabil ist)

Zweikomponentige RD-Systeme

- Verallgemeinerung durch Alan Turing: mehrere Komponenten (The Chemical Basis of Morphogenesis - Alan Turing, 1952)

$$\begin{aligned}\partial_t u(\mathbf{r}, t) &= D_u \Delta u(\mathbf{r}, t) + f(u, v) \\ \tau \partial_t v(\mathbf{r}, t) &= D_v \Delta v(\mathbf{r}, t) + g(u, v)\end{aligned}$$

- τ : das Zeitverhaeltnis von u und v beschreibende dimensionslose Konstante
- (später im Vortrag: Simulation fuer $f(u, v) = \lambda u - u^3 - v + \kappa$ und $g(u, v) = u - v$)

Zweikomponentige RD-Systeme

- Verallgemeinerung durch Alan Turing: mehrere Komponenten (The Chemical Basis of Morphogenesis - Alan Turing, 1952)

$$\begin{aligned}\partial_t u(\mathbf{r}, t) &= D_u \Delta u(\mathbf{r}, t) + f(u, v) \\ \tau \partial_t v(\mathbf{r}, t) &= D_v \Delta v(\mathbf{r}, t) + g(u, v)\end{aligned}$$

- τ : das Zeitverhaeltnis von u und v beschreibende dimensionslose Konstante
- (spaeter im Vortrag: Simulation fuer $f(u, v) = \lambda u - u^3 - v + \kappa$ und $g(u, v) = u - v$)

Zweikomponentige RD-Systeme

- Verallgemeinerung durch Alan Turing: mehrere Komponenten (The Chemical Basis of Morphogenesis - Alan Turing, 1952)

$$\begin{aligned}\partial_t u(\mathbf{r}, t) &= D_u \Delta u(\mathbf{r}, t) + f(u, v) \\ \tau \partial_t v(\mathbf{r}, t) &= D_v \Delta v(\mathbf{r}, t) + g(u, v)\end{aligned}$$

- τ : das Zeitverhaeltnis von u und v beschreibende dimensionslose Konstante
- (später im Vortrag: Simulation fuer $f(u, v) = \lambda u - u^3 - v + \kappa$ und $g(u, v) = u - v$)

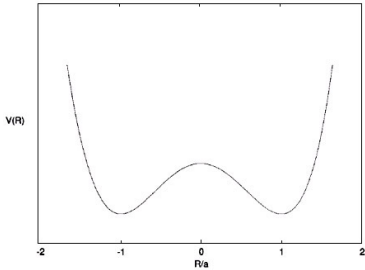
Grober Ueberblick ueber verschiedene Klassen von RD-Systemen

- Typischerweise Unterscheidung zwischen bistabilen, anregbaren und oszillierenden Systemen
- Bistabil: zwei stabile homogene Zustände getrennt von einem instabilen Zustand
- Anregbar: nur ein stabiler Zustand
- Oszillierend: wenn bei anregbarem Zustand $\frac{1}{\tau} \ll 1 \rightarrow$ dauerhafte Instabilität, Oszillation

Grober Ueberblick ueber verschiedene Klassen von RD-Systemen

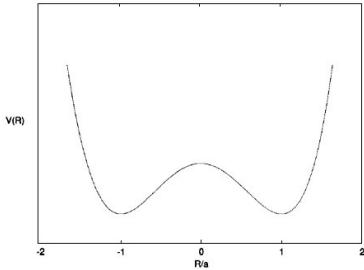
- Typischerweise Unterscheidung zwischen bistabilen, anregbaren und oszillierenden Systemen
- Bistabil: zwei stabile homogene Zustände getrennt von einem instabilen Zustand
- Anregbar: nur ein stabiler Zustand
- Oszillierend: wenn bei anregbarem Zustand $\frac{1}{\tau} \ll 1 \rightarrow$ dauerhafte Instabilität, Oszillation

Bistabilitaet beispielhaft veranschaulicht:



(Anderes Beispiel fuer bistabiles System: Zeldovich-Frank-Kamenetsky Gleichung mit $R(u) = u(1 - u)(u - \alpha)$, $\alpha \in (0, 1)$ → wird genutzt um Flammenpropagation zu beschreiben)

Bistabilität beispielhaft veranschaulicht:



(Anderes Beispiel für bistabiles System: Zeldovich-Frank-Kamenetsky Gleichung mit $R(u) = u(1-u)(u-\alpha)$, $\alpha \in (0, 1)$ → wird genutzt um Flammenpropagation zu beschreiben)

Turing-Instabilität

- Räumlich homogene, linear stabile Systeme können diffusionsgetrieben stationäre, räumlich periodische Muster ausbilden
- Erstaunlich, da im Allgemeinen Diffusion eher als stabilisierender Faktor aufgefasst wird

Lineare Stabilität des homogenen Systems

Betrachte ganz allgemein

$$\partial_t \mathbf{u} = \mathbf{D} \Delta \mathbf{u} + \mathbf{R}(\mathbf{u}) \quad (2)$$

wobei

- $\mathbf{u} = \mathbf{u}(\mathbf{r}, t) = (u, v)^T$ die Konzentration der Substanzen,
- $\mathbf{R}(\mathbf{u}) = (f(u, v), g(u, v))^T$ die lokale Reaktionskinetik und
-

$$\mathbf{D} = \begin{pmatrix} D_u & 0 \\ 0 & D_v \end{pmatrix}$$

eine diagonale Diffusionskoeffizientenmatrix beschreibt

Lineare Stabilität des homogenen Systems

Betrachte ganz allgemein

$$\partial_t \mathbf{u} = \mathbf{D} \Delta \mathbf{u} + \mathbf{R}(\mathbf{u}) \quad (2)$$

wobei

- $\mathbf{u} = \mathbf{u}(\mathbf{r}, t) = (u, v)^T$ die Konzentration der Substanzen,
- $\mathbf{R}(\mathbf{u}) = (f(u, v), g(u, v))^T$ die lokale Reaktionskinetik und
-

$$\mathbf{D} = \begin{pmatrix} D_u & 0 \\ 0 & D_v \end{pmatrix}$$

eine diagonale Diffusionskoeffizientenmatrix beschreibt

Lineare Stabilität des homogenen Systems

Betrachte ganz allgemein

$$\partial_t \mathbf{u} = \mathbf{D} \Delta \mathbf{u} + \mathbf{R}(\mathbf{u}) \quad (2)$$

wobei

- $\mathbf{u} = \mathbf{u}(\mathbf{r}, t) = (u, v)^T$ die Konzentration der Substanzen,
- $\mathbf{R}(\mathbf{u}) = (f(u, v), g(u, v))^T$ die lokale Reaktionskinetik und
-

$$\mathbf{D} = \begin{pmatrix} D_u & 0 \\ 0 & D_v \end{pmatrix}$$

eine diagonale Diffusionskoeffizientenmatrix beschreibt

Lineare Stabilität des homogenen Systems

Betrachte ganz allgemein

$$\partial_t \mathbf{u} = \mathbf{D} \Delta \mathbf{u} + \mathbf{R}(\mathbf{u}) \quad (2)$$

wobei

- $\mathbf{u} = \mathbf{u}(\mathbf{r}, t) = (u, v)^T$ die Konzentration der Substanzen,
- $\mathbf{R}(\mathbf{u}) = (f(u, v), g(u, v))^T$ die lokale Reaktionskinetik und
-

$$\mathbf{D} = \begin{pmatrix} D_u & 0 \\ 0 & D_v \end{pmatrix}$$

eine diagonale Diffusionskoeffizientenmatrix
beschreibt

Sei (u_0, v_0) ein homogene Loesung des Systems, d.h
 $f(u_0, v_0) = g(u_0, v_0) = 0$.

Angenommen: System in Abwesenheit von Diffusionseffekten linear stabil,
dann kann man zeigen, dass alle Eigenwerte von

$$\mathbf{A} = (\partial \mathbf{R}/\partial \mathbf{u})_{\mathbf{u}=\mathbf{u}_0} = \begin{pmatrix} f_u & f_v \\ g_u & g_v \end{pmatrix}$$

negativ sein muessen. Fuer zwei Komponenten ist dazu aequivalent, dass

$$Sp(\mathbf{A}) = f_u + g_v < 0$$

und

$$\det(\mathbf{A}) = f_u g_v - f_v g_u > 0$$

Sei (u_0, v_0) ein homogene Loesung des Systems, d.h
 $f(u_0, v_0) = g(u_0, v_0) = 0$.

Angenommen: System in Abwesenheit von Diffusionseffekten linear stabil,
dann kann man zeigen, dass alle Eigenwerte von

$$\mathbf{A} = (\partial \mathbf{R}/\partial \mathbf{u})_{\mathbf{u}=\mathbf{u}_0} = \begin{pmatrix} f_u & f_v \\ g_u & g_v \end{pmatrix}$$

negativ sein muessen. Fuer zwei Komponenten ist dazu aequivalent, dass

$$Sp(\mathbf{A}) = f_u + g_v < 0$$

und

$$\det(\mathbf{A}) = f_u g_v - f_v g_u > 0$$

Sei (u_0, v_0) ein homogene Loesung des Systems, d.h
 $f(u_0, v_0) = g(u_0, v_0) = 0$.

Angenommen: System in Abwesenheit von Diffusionseffekten linear stabil,
dann kann man zeigen, dass alle Eigenwerte von

$$\mathbf{A} = (\partial \mathbf{R}/\partial \mathbf{u})_{\mathbf{u}=\mathbf{u}_0} = \begin{pmatrix} f_u & f_v \\ g_u & g_v \end{pmatrix}$$

negativ sein muessen. Fuer zwei Komponenten ist dazu aequivalent, dass

$$Sp(\mathbf{A}) = f_u + g_v < 0$$

und

$$\det(\mathbf{A}) = f_u g_v - f_v g_u > 0$$

Nun betrachte kleine Stoerung $\tilde{\mathbf{u}}$, also $\mathbf{u} = \mathbf{u}_0 + \tilde{\mathbf{u}}$
 \Rightarrow

$$\partial_t \tilde{\mathbf{u}} = \mathbf{D} \Delta \tilde{\mathbf{u}} + \mathbf{A} \tilde{\mathbf{u}} \quad (3)$$

fuer $\tilde{\mathbf{u}} \propto \mathbf{a}_k e^{ikr}$ ergibt sich

$$\dot{\mathbf{a}}_k = (\mathbf{A} - k^2 \mathbf{D}) \mathbf{a}_k = \mathbf{B} \mathbf{a}_k$$

Nun betrachte kleine Stoerung $\tilde{\mathbf{u}}$, also $\mathbf{u} = \mathbf{u}_0 + \tilde{\mathbf{u}}$
 \Rightarrow

$$\partial_t \tilde{\mathbf{u}} = \mathbf{D} \Delta \tilde{\mathbf{u}} + \mathbf{A} \tilde{\mathbf{u}} \quad (3)$$

fuer $\tilde{\mathbf{u}} \propto \mathbf{a}_k e^{ikr}$ ergibt sich

$$\dot{\mathbf{a}}_k = (\mathbf{A} - k^2 \mathbf{D}) \mathbf{a}_k = \mathbf{B} \mathbf{a}_k$$

Nun wieder Stabilitätsbedingungen

$$Sp(\mathbf{B}) < 0 \forall k$$

$$\det(\mathbf{B}) > 0 \forall k$$

nach weiterer Rechnung → komplettes System von Bedingungen für die Instabilität des homogenen Zustandes \mathbf{u}_0

- $f_u + g_v < 0$
- $f_u g_v - f_v g_u > 0$
- $D_u g_v + D_v f_u > 0$
- $\left(\frac{f_u}{D_u} + \frac{g_v}{D_v} \right)^2 > \frac{4 \det \mathbf{A}}{D_u D_v}$

Nun wieder Stabilitätsbedingungen

$$Sp(\mathbf{B}) < 0 \forall k$$

$$\det(\mathbf{B}) > 0 \forall k$$

nach weiterer Rechnung → komplettes System von Bedingungen für die Instabilität des homogenen Zustandes \mathbf{u}_0

- $f_u + g_v < 0$
- $f_u g_v - f_v g_u > 0$
- $D_u g_v + D_v f_u > 0$
- $\left(\frac{f_u}{D_u} + \frac{g_v}{D_v} \right)^2 > \frac{4 \det \mathbf{A}}{D_u D_v}$

Bemerkung

In diesem Vortrag: numerische Simulation von

$$\begin{aligned}\partial_t u &= D_u \Delta u + \lambda u - u^3 - v + \kappa \\ \tau \partial_t v &= D_v \Delta v + u - v\end{aligned}$$

Bedingungen fuer Turing-Instabilitaet hierbei

- $f'(u_0) < 1/\tau$
- $f'(u_0) < 1$
- $f'(u_0) > D_u/D_v$
- $f'(u_0) \geq 2\sqrt{\frac{D_u}{D_v}} - \frac{D_u}{D_v}$

Bemerkung

In diesem Vortrag: numerische Simulation von

$$\begin{aligned}\partial_t u &= D_u \Delta u + \lambda u - u^3 - v + \kappa \\ \tau \partial_t v &= D_v \Delta v + u - v\end{aligned}$$

Bedingungen fuer Turing-Instabilitaet hierbei

- $f'(u_0) < 1/\tau$
- $f'(u_0) < 1$
- $f'(u_0) > D_u/D_v$
- $f'(u_0) \geq 2\sqrt{\frac{D_u}{D_v}} - \frac{D_u}{D_v}$

Das Aktivator-Inhibitor Prinzip

Nimmt man die gerade erhaltenen Bedingungen als gegeben an, so laesst sich zeigen, dass es fuer

$$\mathbf{A} = (\partial \mathbf{R}/\partial \mathbf{u})_{\mathbf{u}=\mathbf{u}_0} = \begin{pmatrix} f_u & f_v \\ g_u & g_v \end{pmatrix}$$

nur vier moegliche Realisierungen bzgl. der Vorzeichen in den Matrixkomponenten gibt → unter anderem ergibt sich, dass f_u und g_v immer verschiedene Vorzeichen haben muessen.

Wenn $f_u > 0$ und $g_v < 0$, so heisst u Aktivator und v Inhibitor

Das Aktivator-Inhibitor Prinzip

Nimmt man die gerade erhaltenen Bedingungen als gegeben an, so laesst sich zeigen, dass es fuer

$$\mathbf{A} = (\partial \mathbf{R}/\partial \mathbf{u})_{\mathbf{u}=\mathbf{u}_0} = \begin{pmatrix} f_u & f_v \\ g_u & g_v \end{pmatrix}$$

nur vier moegliche Realisierungen bzgl. der Vorzeichen in den Matrixkomponenten gibt → unter anderem ergibt sich, dass f_u und g_v immer verschiedene Vorzeichen haben muessen.

Wenn $f_u > 0$ und $g_v < 0$, so heisst u Aktivator und v Inhibitor

Das Aktivator-Inhibitor Prinzip

Nimmt man die gerade erhaltenen Bedingungen als gegeben an, so laesst sich zeigen, dass es fuer

$$\mathbf{A} = (\partial \mathbf{R}/\partial \mathbf{u})_{\mathbf{u}=\mathbf{u}_0} = \begin{pmatrix} f_u & f_v \\ g_u & g_v \end{pmatrix}$$

nur vier moegliche Realisierungen bzgl. der Vorzeichen in den Matrixkomponenten gibt → unter anderem ergibt sich, dass f_u und g_v immer verschiedene Vorzeichen haben muessen.

Wenn $f_u > 0$ und $g_v < 0$, so heisst u Aktivator und v Inhibitor

Physikalische Interpretation

- Im Fall stationärer Strukturen hat der Inhibitor v eine stabilisierende Wirkung
- Kommt besonders zur Geltung wenn v 'schneller' ist (in bezug auf τ) und nicht zu weit verteilt durch Diffusion
- Verlangsamung von v führt zu zeitlicher Strukturbildung (z.B. Pulse, laufende Wellen)
- Erhöhte Diffusion führt zu räumlichen Mustern (z.B. periodische Turing-Strukturen, lokalisierte Filamente)
- Beides zusammen: weit komplexere Strukturen (z.B. atmende Filamente, raumzeitliches Chaos)

Physikalische Interpretation

- Im Fall stationärer Strukturen hat der Inhibitor v eine stabilisierende Wirkung
- Kommt besonders zur Geltung wenn v 'schneller' ist (in bezug auf τ) und nicht zu weit verteilt durch Diffusion
- Verlangsamung von v führt zu zeitlicher Strukturbildung (z.B. Pulse, laufende Wellen)
- Erhöhte Diffusion führt zu räumlichen Mustern (z.B. periodische Turing-Strukturen, lokalisierte Filamente)
- Beides zusammen: weit komplexere Strukturen (z.B. atmende Filamente, raumzeitliches Chaos)

Physikalische Interpretation

- Im Fall stationärer Strukturen hat der Inhibitor v eine stabilisierende Wirkung
- Kommt besonders zur Geltung wenn v 'schneller' ist (in bezug auf τ) und nicht zu weit verteilt durch Diffusion
- Verlangsamung von v führt zu zeitlicher Strukturbildung (z.B. Pulse, laufende Wellen)
- Erhöhte Diffusion führt zu räumlichen Mustern (z.B. periodische Turing-Strukturen, lokalisierte Filamente)
- Beides zusammen: weit komplexere Strukturen (z.B. atmende Filamente, raumzeitliches Chaos)

Physikalische Interpretation

- Im Fall stationärer Strukturen hat der Inhibitor v eine stabilisierende Wirkung
- Kommt besonders zur Geltung wenn v 'schneller' ist (in bezug auf τ) und nicht zu weit verteilt durch Diffusion
- Verlangsamung von v führt zu zeitlicher Strukturbildung (z.B. Pulse, laufende Wellen)
- Erhöhte Diffusion führt zu räumlichen Mustern (z.B. periodische Turing-Strukturen, lokalisierte Filamente)
- Beides zusammen: weit komplexere Strukturen (z.B. atmende Filamente, raumzeitliches Chaos)

- Numerische und analytische Behandlung von Aktivator-Inhibitor-RD-Systemen um grundlegende Mechanismen der Strukturbildung zu erforschen und prinzipielle Phaenomene theoretisch vorauszusagen
- Verwendung um Experimente an Plasma-Systemen (z.B. Gasentladungen) und Halbleitern zu interpretieren

Numerische Simulation einer Turing-Instabilität

Diskretisierung von

$$\begin{aligned}\partial_t u &= D_u \Delta u + \lambda u - u^3 - v + \kappa \\ \tau \partial_t v &= D_v \Delta v + u - v\end{aligned}$$

über Vorwärtsdifferenzverfahren, hier Beispielhaft für u

i,j Raumdimensionen, n Zeit, h Schrittweite Ort, k Schrittweite Zeit, dann

$$\partial_t u_{i,j}^{(n)} = \frac{u_{i,j}^{(n+1)} - u_{i,j}^{(n)}}{h}$$

$$\Delta u_{i,j}^{(n)} = \frac{u_{i+1,j}^{(n)} - 2u_{i,j}^{(n)} + u_{i-1,j}^{(n)}}{k^2} + \frac{u_{i,j+1}^{(n)} - 2u_{i,j}^{(n)} + u_{i,j-1}^{(n)}}{k^2}$$

⇒ Einsetzen und auf Form bringen $u_{i,j}^{(n+1)} = \dots$

Numerische Simulation einer Turing-Instabilität

Diskretisierung von

$$\begin{aligned}\partial_t u &= D_u \Delta u + \lambda u - u^3 - v + \kappa \\ \tau \partial_t v &= D_v \Delta v + u - v\end{aligned}$$

über Vorwärtsdifferenzverfahren, hier Beispielhaft für u

i,j Raumdimensionen, n Zeit, h Schrittweite Ort, k Schrittweite Zeit, dann

$$\partial_t u_{i,j}^{(n)} = \frac{u_{i,j}^{(n+1)} - u_{i,j}^{(n)}}{h}$$

$$\Delta u_{i,j}^{(n)} = \frac{u_{i+1,j}^{(n)} - 2u_{i,j}^{(n)} + u_{i-1,j}^{(n)}}{k^2} + \frac{u_{i,j+1}^{(n)} - 2u_{i,j}^{(n)} + u_{i,j-1}^{(n)}}{k^2}$$

⇒ Einsetzen und auf Form bringen $u_{i,j}^{(n+1)} = \dots$

Numerische Simulation einer Turing-Instabilität

Diskretisierung von

$$\begin{aligned}\partial_t u &= D_u \Delta u + \lambda u - u^3 - v + \kappa \\ \tau \partial_t v &= D_v \Delta v + u - v\end{aligned}$$

über Vorwärtsdifferenzverfahren, hier Beispielhaft für u

i,j Raumdimensionen, n Zeit, h Schrittweite Ort, k Schrittweite Zeit, dann

$$\partial_t u_{i,j}^{(n)} = \frac{u_{i,j}^{(n+1)} - u_{i,j}^{(n)}}{h}$$

$$\Delta u_{i,j}^{(n)} = \frac{u_{i+1,j}^{(n)} - 2u_{i,j}^{(n)} + u_{i-1,j}^{(n)}}{k^2} + \frac{u_{i,j+1}^{(n)} - 2u_{i,j}^{(n)} + u_{i,j-1}^{(n)}}{k^2}$$

⇒ Einsetzen und auf Form bringen $u_{i,j}^{(n+1)} = \dots$

Numerische Simulation einer Turing-Instabilität

Diskretisierung von

$$\begin{aligned}\partial_t u &= D_u \Delta u + \lambda u - u^3 - v + \kappa \\ \tau \partial_t v &= D_v \Delta v + u - v\end{aligned}$$

über Vorwärtsdifferenzverfahren, hier Beispielhaft für u

i,j Raumdimensionen, n Zeit, h Schrittweite Ort, k Schrittweite Zeit, dann

$$\partial_t u_{i,j}^{(n)} = \frac{u_{i,j}^{(n+1)} - u_{i,j}^{(n)}}{h}$$

$$\Delta u_{i,j}^{(n)} = \frac{u_{i+1,j}^{(n)} - 2u_{i,j}^{(n)} + u_{i-1,j}^{(n)}}{k^2} + \frac{u_{i,j+1}^{(n)} - 2u_{i,j}^{(n)} + u_{i,j-1}^{(n)}}{k^2}$$

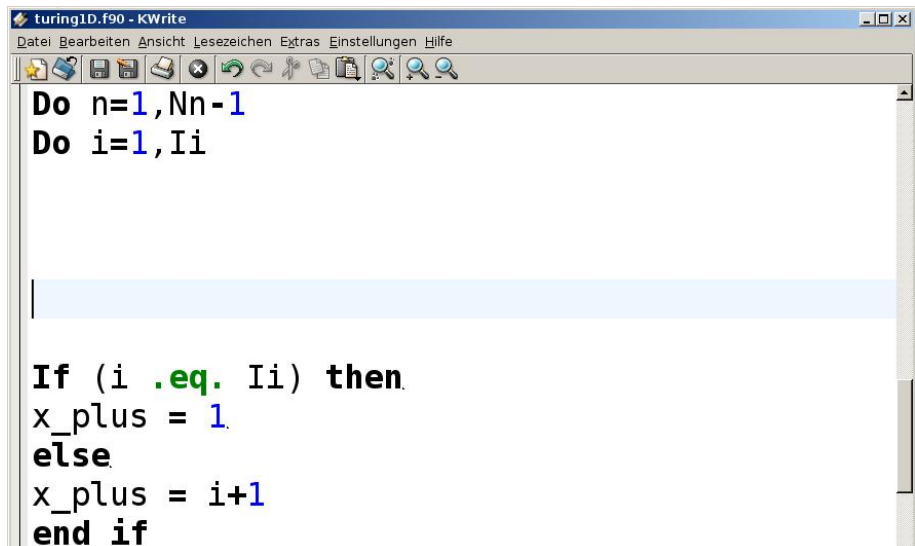
⇒ Einsetzen und auf Form bringen $u_{i,j}^{(n+1)} = \dots$

Numerische Simulation der Zeitentwicklung in einer Dimension

The screenshot shows a window titled "turing1D.f90 - KWrite". The menu bar includes "Datei", "Bearbeiten", "Ansicht", "Lesezeichen", "Extras", "Einstellungen", and "Hilfe". The toolbar contains icons for file operations like new, open, save, and search. The code in the editor is as follows:

```
!skalare parameter
real*8 h, k, D_u, l, kappa, D_v, x_0,
x_1, NX, NY
h=0.0005
k=0.005
D_u=0.00028
l=1
kappa=0.08
D_v=0.005
```

Numerische Simulation der Zeitentwicklung in einer Dimension



The screenshot shows a window titled "turing1D.f90 - KWrite" containing Fortran code. The menu bar includes "Datei", "Bearbeiten", "Ansicht", "Lesezeichen", "Extras", "Einstellungen", and "Hilfe". The toolbar contains icons for file operations like new, open, save, cut, copy, paste, and search. The code itself is as follows:

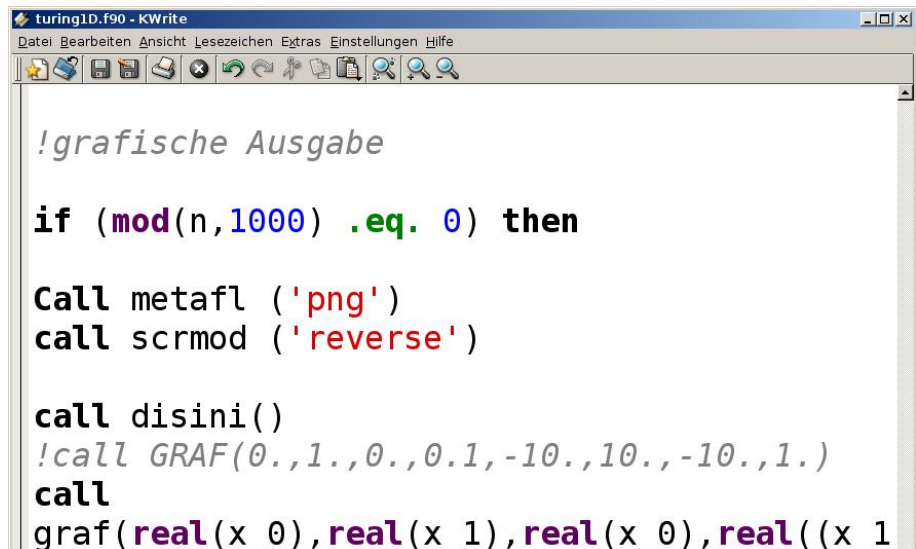
```
Do n=1,Nn-1
  Do i=1,Ii
    If (i .eq. Ii) then
      x_plus = 1
    else
      x_plus = i+1
    end if
```

Numerische Simulation der Zeitentwicklung in einer Dimension

The screenshot shows a window titled "turing1D.f90 - KWrite" containing Fortran code. The menu bar includes "Datei", "Bearbeiten", "Ansicht", "Lesezeichen", "Extras", "Einstellungen", and "Hilfe". The toolbar contains icons for file operations like new, open, save, cut, copy, paste, and search. The code is as follows:

```
x_minus = Ii  
else  
x_minus = i-1  
end if  
  
u_neu(i) = h* (D_u *(u(x_plus) - 2*u(i) +  
u(x_minus))/k**2 + l*u(i) - u(i)**3 +  
kappa*v(i)) + u(i)  
  
v_neu(i) = h* (D_v *(v(x_plus) - 2*v(i) +  
v(x_minus))/k**2 + u(i) - v(i)) + v(i)
```

Numerische Simulation der Zeitentwicklung in einer Dimension



The screenshot shows a window titled "turing1D.f90 - KWrite". The menu bar includes "Datei", "Bearbeiten", "Ansicht", "Lesezeichen", "Extras", "Einstellungen", and "Hilfe". The toolbar contains icons for file operations like new, open, save, and search. The code in the editor is as follows:

```
!grafische Ausgabe

if (mod(n,1000) .eq. 0) then

call metafl ('png')
call scrmod ('reverse')

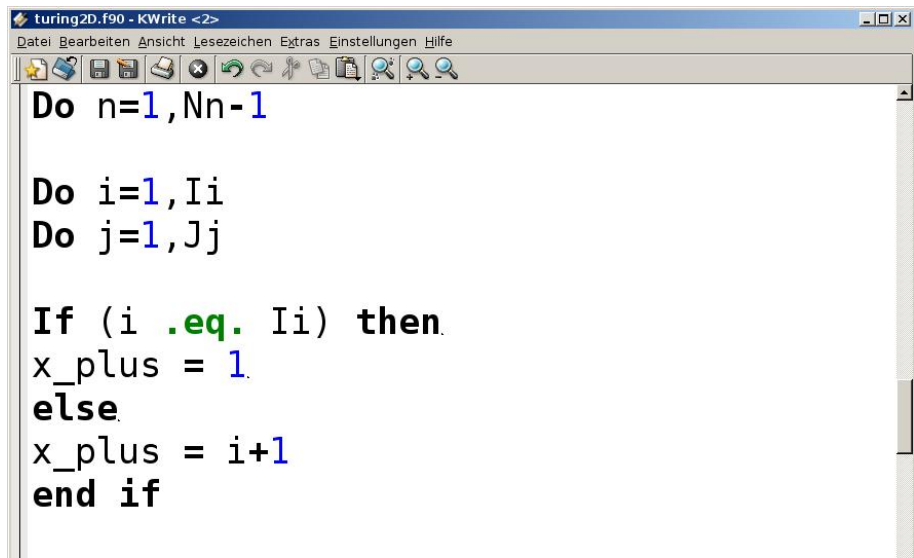
call disini()
!call GRAF(0.,1.,0.,0.1,-10.,10.,-10.,1.)
call
graf(real(x_0),real(x_1),real(x_0),real((x_1
```

Numerische Simulation der Zeitentwicklung in einer Dimension

The screenshot shows a window titled "turing2D.f90 [Geändert] - KWrite". The menu bar includes "Datei", "Bearbeiten", "Ansicht", "Lesezeichen", "Extras", "Einstellungen", and "Hilfe". The toolbar contains icons for file operations like new, open, save, and search. The code in the editor is as follows:

```
!parameter  
h=0.00125  
k=0.005  
D_u=0.00028  
l=1  
kappa=-0.11  
D_v=0.005  
  
hDu_k2=h*D_u/(k**2)  
hDv_k2=h*D_v/(k**2)
```

Numerische Simulation der Zeitentwicklung in zwei Dimensionen



The screenshot shows a window titled "turing2D.f90 - KWrite <2>" containing Fortran code. The menu bar includes "Datei", "Bearbeiten", "Ansicht", "Lesezeichen", "Extras", "Einstellungen", and "Hilfe". The toolbar contains icons for file operations like new, open, save, and search. The code itself is as follows:

```
Do n=1,Nn-1
  Do i=1,Ii
    Do j=1,Jj
      If (i .eq. Ii) then
        x_plus = 1
      else
        x_plus = i+1
      end if
    End do
  End do
End do
```

Numerische Simulation der Zeitentwicklung in zwei Dimensionen

turing2D.f90 - KWrite <2>

File Edit View Favorites Extras Help

File Edit View Favorites Extras Help

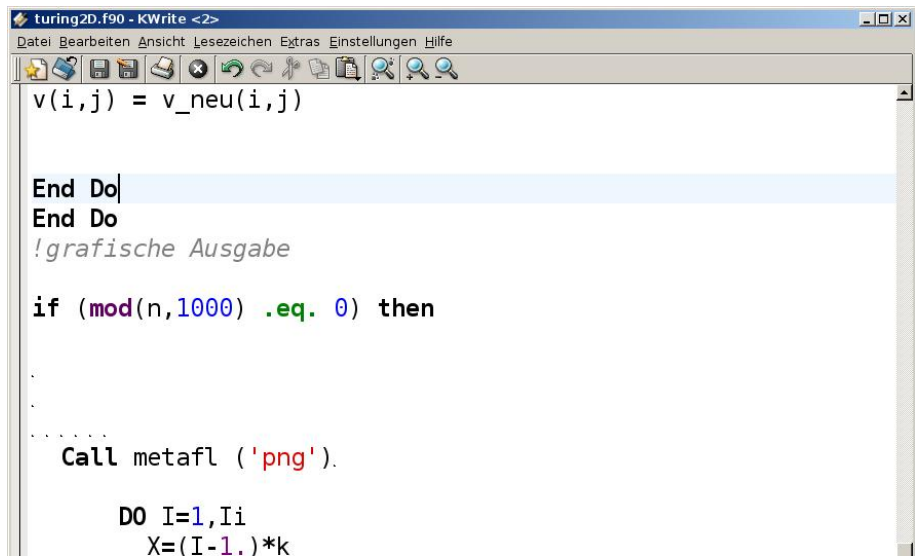
```
y_plus = j+1
end if

If (j .eq. 1) then
y_minus = Jj.
else
y_minus = j-1
end if

u_neu(i,j) = hDu_k2*(u(x_plus,j) - 2 *u(i,j) + u(x_minus,j) +
u(i,y_plus) - 2 *u(i,j) + u(i,y_minus)) + h* (l*u(i,j) -
u(i,j)**3 + kappa*v(i,j)) + u(i,j)

v_neu(i,j) = hDv_k2 *(v(x_plus,j) - 2 *v(i,j) + v(x_minus,j) +
v(i,y_plus) - 2 *v(i,j) + v(i,y_minus)) + h*(u(i,j) - v(i,j)) +
```

Numerische Simulation der Zeitentwicklung in zwei Dimensionen



The screenshot shows a window titled "turing2D.f90 - KWrite <2>" containing Fortran code. The menu bar includes "Datei", "Bearbeiten", "Ansicht", "Lesezeichen", "Extras", "Einstellungen", and "Hilfe". The toolbar contains icons for file operations like new, open, save, and search. The code itself is as follows:

```
v(i,j) = v_neu(i,j)

End Do
End Do
!grafische Ausgabe

if (mod(n,1000) .eq. 0) then
  .
  .
  .
  Call metafl ('png').

  DO I=1,Ii
    X=(I-1.)*k
```

Zusammenfassung

- $\partial_t \mathbf{u} = \mathbf{D} \Delta \mathbf{u} + \mathbf{R}(\mathbf{u})$
- Zentral: Diffusiongetriebene Instabilität
- Explizites Differenzenverfahren funktioniert für nichtlineare Gleichungen:-)

Zusammenfassung

- $\partial_t \mathbf{u} = \mathbf{D} \Delta \mathbf{u} + \mathbf{R}(\mathbf{u})$
- Zentral: Diffusionsgetriebene Instabilität
- Explizites Differenzenverfahren funktioniert für nichtlineare Gleichungen:-)

Zusammenfassung

- $\partial_t \mathbf{u} = \mathbf{D} \Delta \mathbf{u} + \mathbf{R}(\mathbf{u})$
- Zentral: Diffusiongetriebene Instabilität
- Explizites Differenzenverfahren funktioniert für nichtlineare Gleichungen:-)

Ende

Vielen Dank fuer Ihre Aufmerksamkeit!

- Lateral self-organization in nonlinear transport systems described by reaction-diffusion equations (Svetlana V. Gurevich, 2006)
- <http://www.uni-muenster.de/Physik.AP/Purwins/RD/index-de.html>
- Pattern formation in chemical systems (Raymond Kapral, 1995)
- Nonlinear chemical dynamics (Francesc Sagues, Irving R. Epstein, 2003)
- Spatial pattern formation in chemical and biological systems (Maini, Painter, Nguyen Phong Chau, 1997)